

LANCÉ

Servicio Clima Espacial

Reporte Semanal

<http://www.sciesmex.unam.mx>



ISES
International Space
Environment Service

AEM
AGENCIA ESPACIAL MEXICANA



CENAPRED
CENTRO NACIONAL DE
PREVENCIÓN DE DESASTRES

CONDICIONES DEL SOL

Regiones activas: 2 regiones activas: 12778 y 12779, la segunda mostró actividad.
Hoyos coronales: 1 en el polo norte y algunos hoyos dispersos a bajas latitudes.
Eyecciones de masa coronal: 2 eyecciones que no se desplazaron en la dirección Sol-Tierra.
Fulguraciones solares: 4 fulguraciones clase C que ocurrieron el día 29.

El Sol no ha mostrado actividad significativa.

CONDICIONES DEL MEDIO INTERPLANETARIO

Esta semana se registró una región de compresión originada por una corriente de viento solar rápida.

CONDICIONES DE MAGNETÓSFERA

Índice Kp: No se registró actividad geomagnética significativa.
Índice Dst: No se registró actividad geomagnética significativa.

CONDICIONES DE LA IONOSFERA

Se observaron variaciones de TEC moderadas esta semana.

CONDICIONES DE PARTÍCULAS ENERGÉTICAS SOLARES

No se detectaron incrementos significativos en las cuentas de rayos cósmicos.

PRONÓSTICOS: Condiciones de actividad solar mínima

Viento solar:

- Se pronostica la llegada de corrientes de viento solar promedio con velocidad entre 400 y 600 km/s. No se pronostica el arribo de ninguna EMC en los próximos días.

Fulguraciones solares:

- Es necesario seguir vigilando la región activa 12779, ya que puede seguir presentando actividad durante el siguiente par de días.

Tormentas ionosféricas:

- No se esperan perturbaciones significativas en los siguientes días.

Tormentas geomagnéticas:

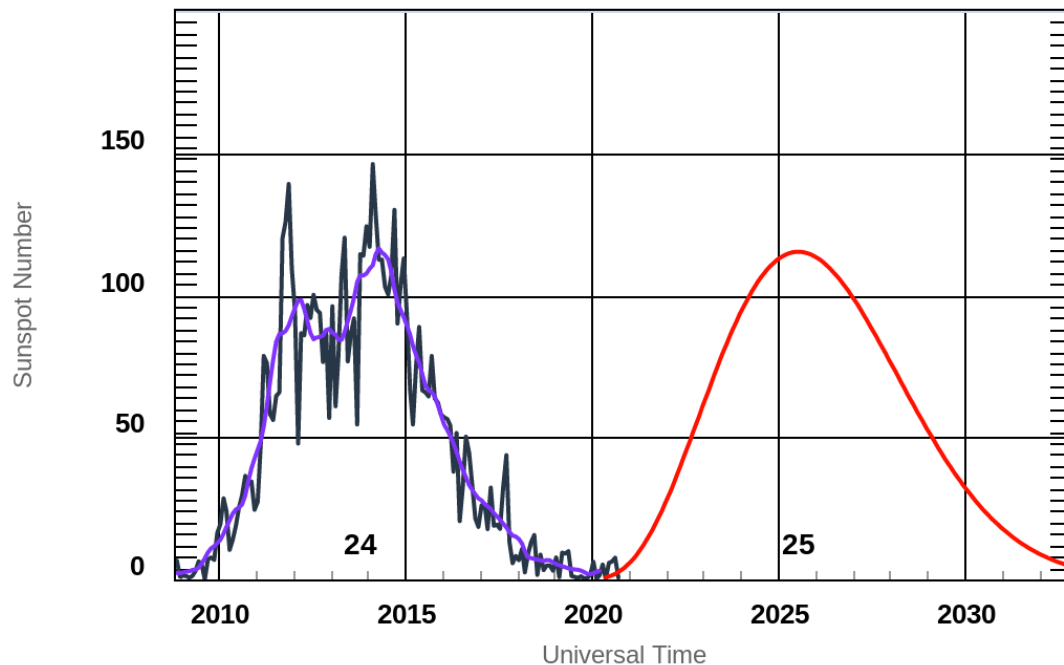
- Es poco probable que se presenten tormentas menores en los próximos días.

Tormentas de radiación solar:

- Aunque están presentes las 2 regiones activas, no se espera actividad significativa de radiación solar.

Ciclo de manchas solares y la actividad solar

ISES Solar Cycle Sunspot Number Progression



◆ Monthly Values — Smoothed Monthly Values — Predicted Values
Space Weather Prediction Center

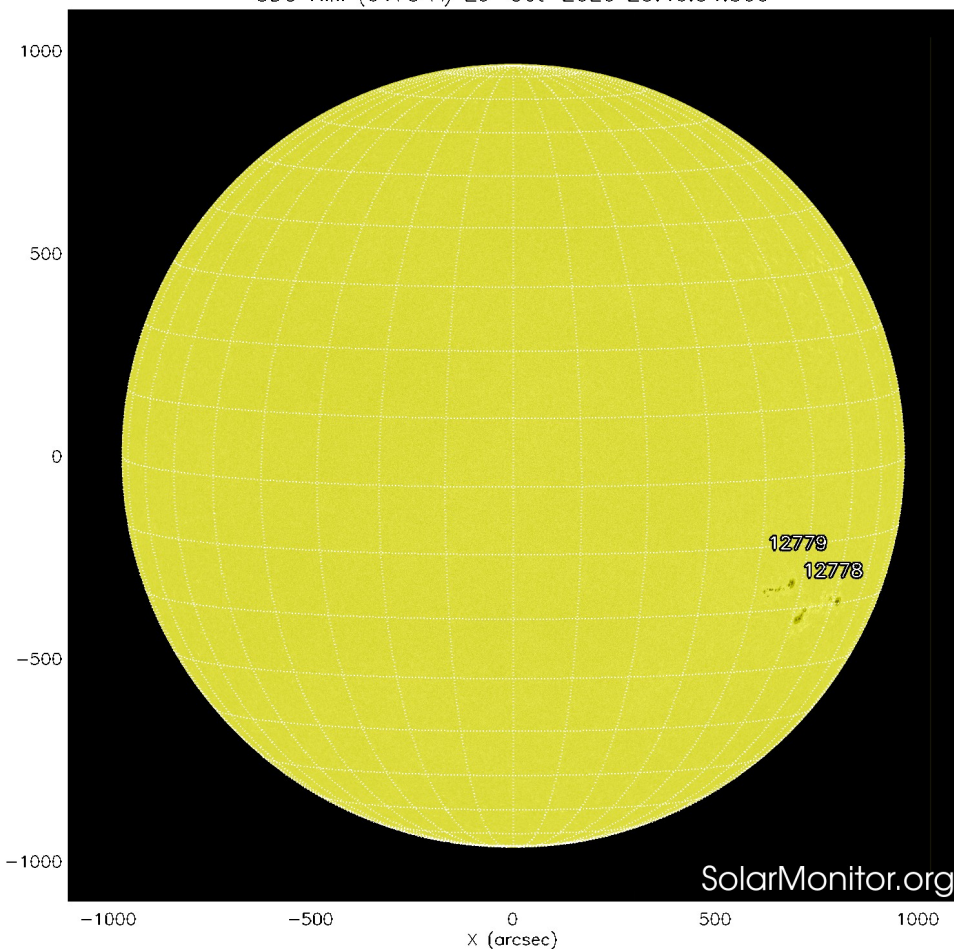
<http://www.swpc.noaa.gov/products/solar-cycle-progression>

La figura muestra el conteo del número de manchas solares desde enero del 2008.

Entre más manchas solares presente el Sol, es mayor la posibilidad de que ocurra una tormenta solar.

El ciclo solar 24 terminó en diciembre de 2019 y estamos empezando el ciclo 25.

SDO HMI (6173 Å) 29-Oct-2020 23:46:34.500



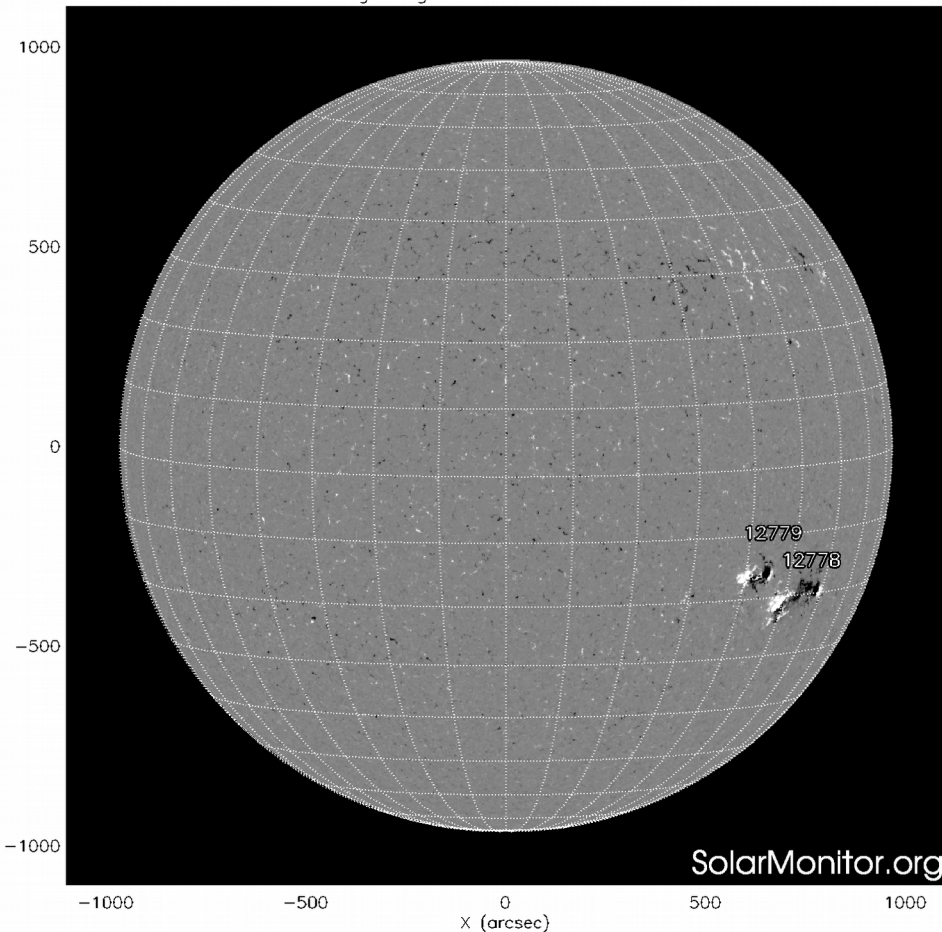
La fotosfera es la zona “superficial” del Sol, donde aparecen las manchas solares. Regiones oscuras formadas por material más frío que sus alrededores y que contienen intensos campos magnéticos. Las manchas solares están relacionadas con la actividad solar.

El Sol hoy 29-octubre-2020:

En la imagen reciente de la fotosfera se observa a las regiones activas 12778 y 12779.

<http://solarmonitor.org>

SDO HMI Magnetogram 29-Oct-2020 18:58:34.400



Un magnetograma solar permite identificar las regiones de intensos campos magnéticos solares. En general, estos campos magnéticos están asociados a manchas solares.

Las regiones de color blanco (negro) son zonas por donde salen (entran) líneas de campo magnético, correspondientes a polaridad positiva (negativa).

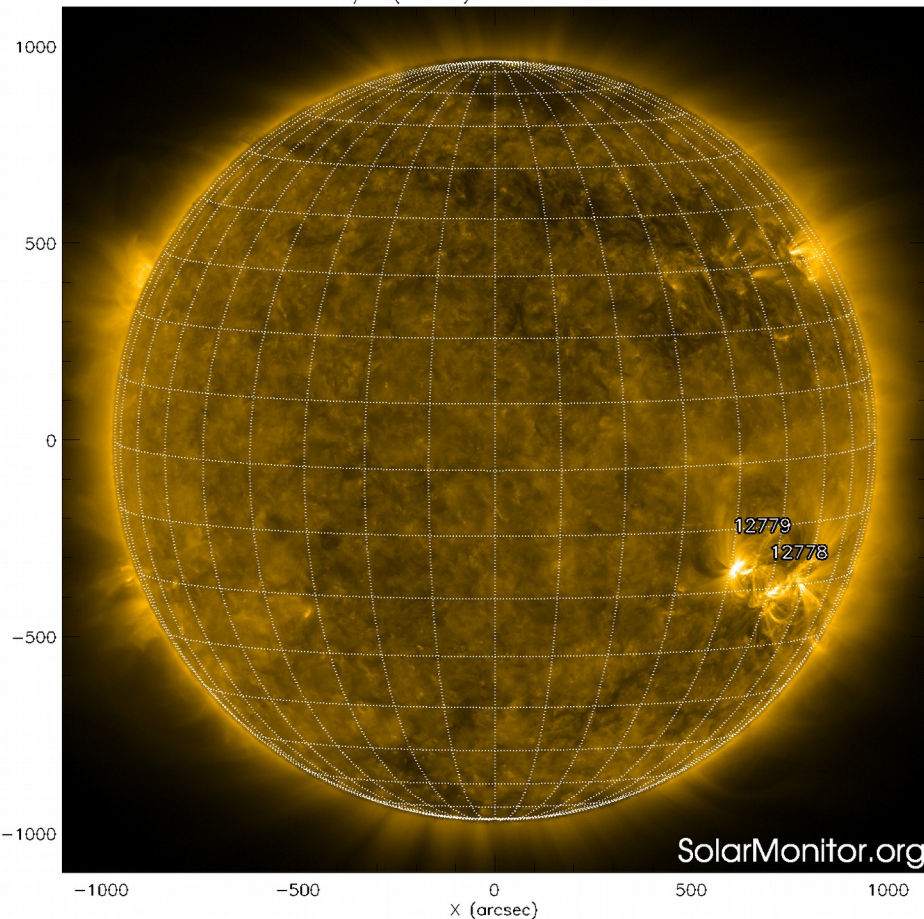
El Sol hoy 29-octubre-2020:

El magnetograma muestra dos regiones dipolares, en el hemisferio sur, asociadas con las regiones activas 12778 y 12779.

<http://solarmonitor.org>

Atmósfera solar y regiones activas

SDO AIA Fe IX/X (171 Å) 29-Oct-2020 20:25:09.350



El Sol en rayos X suaves (171 Å). La emisión de Fe IX y X revela la estructura magnética en la región de la atmósfera solar llamada corona solar que se encuentra a 630,000 K.

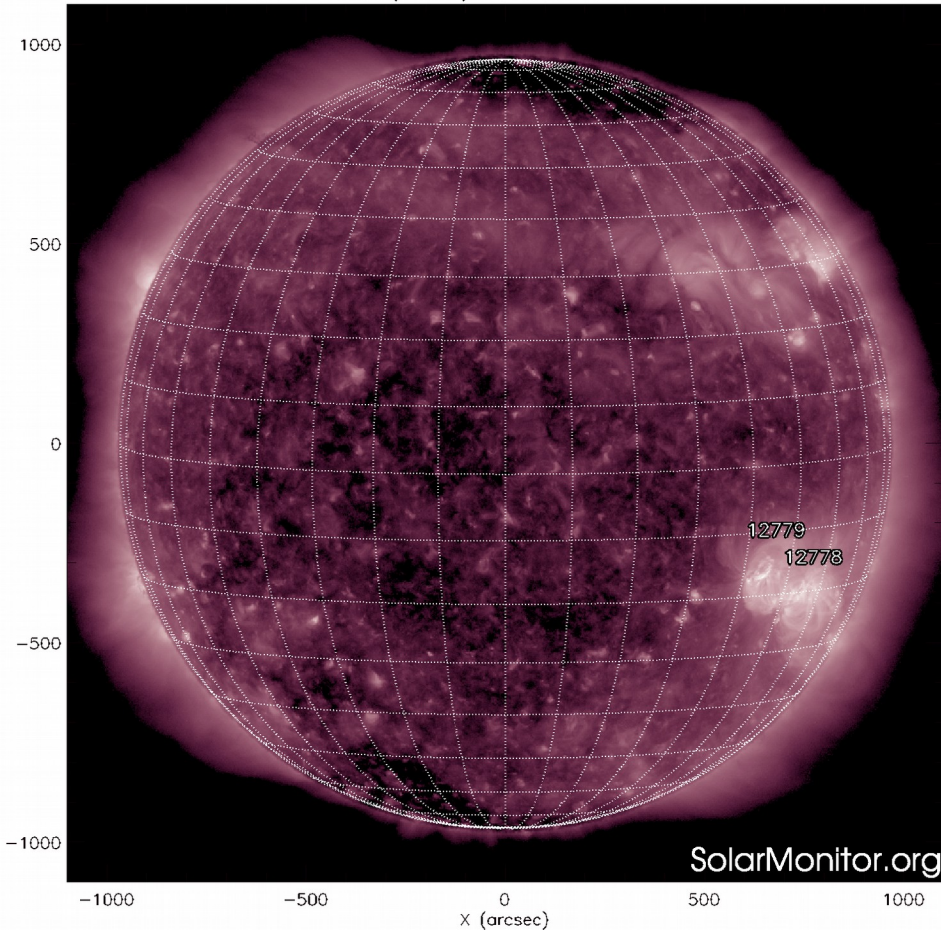
Las regiones activas (zonas claras) son los lugares donde se presentan los fenómenos de actividad solar más importantes. Las regiones activas están regularmente asociadas a las manchas solares.

El Sol hoy 29-octubre-2020:

Se observa, en el lado oeste, a las regiones activas 12778 y 12779.

<http://solarmonitor.org>

SDO AIA Fe XII (211 Å) 29-Oct-2020 20:27:57.630



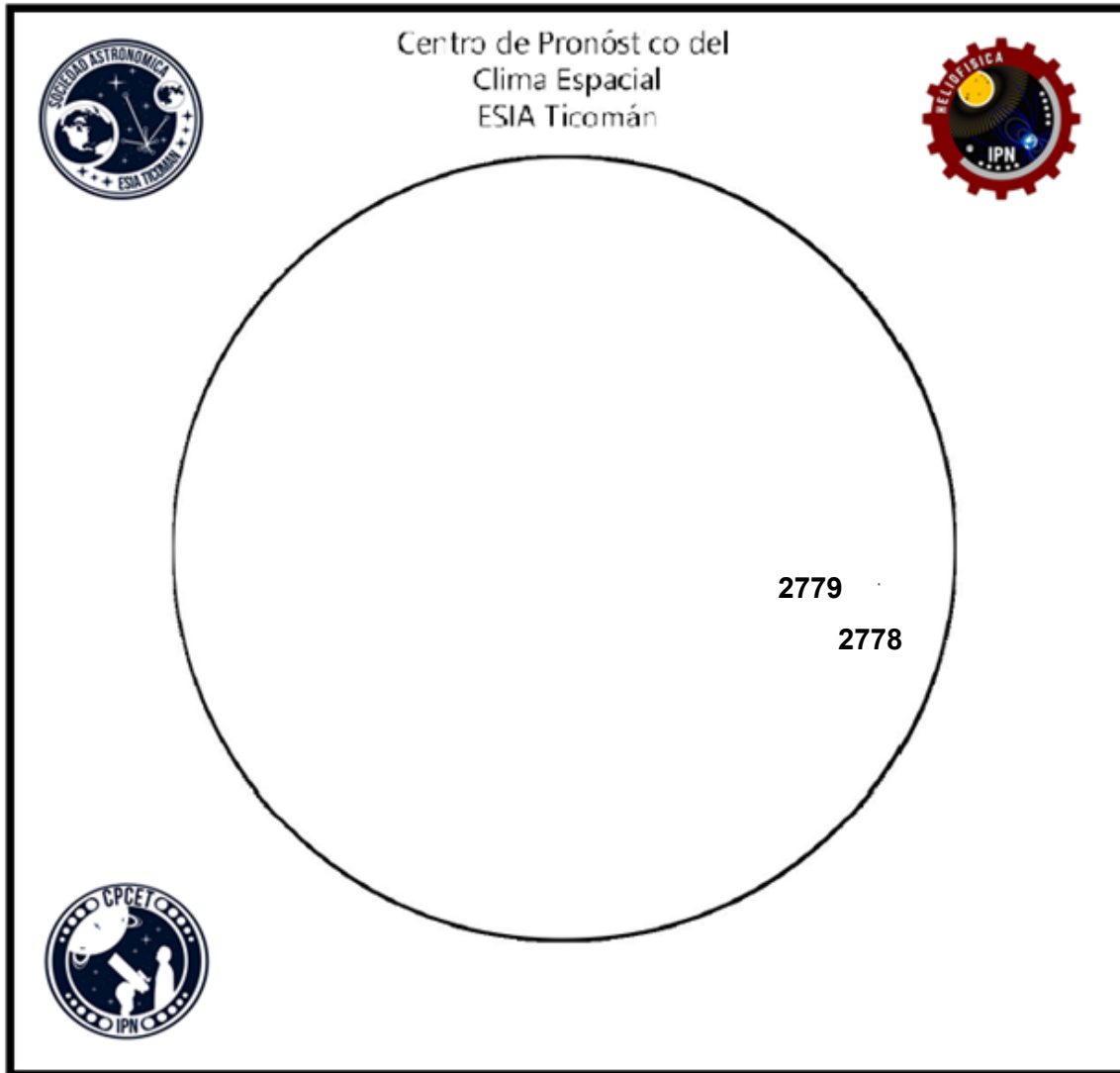
El Sol en rayos X suaves (211 Å). La emisión de Fe XIV revela la estructura magnética en la alta corona que se encuentra a 2,000,000 K.

Los hoyos coronales (regiones oscuras) son regiones de campo magnético solar localmente abierto. Los hoyos coronales son fuente de las corrientes de viento solar rápido.

El Sol hoy 29-octubre-2020:

Se observa un hoyo coronal en el polo norte y otro en el polo sur, con algunos hoyos dispersos a bajas latitudes.

<http://solarmonitor.org>



El número de Wolf es un valor que permite evaluar numéricamente la actividad solar mediante el conteo de manchas solares ubicadas sobre la superficie del Sol. Este se calcula a partir de la fórmula desarrollada por Rudolf Wolf en 1849:

$$W=k(10*G+F)$$

Donde:

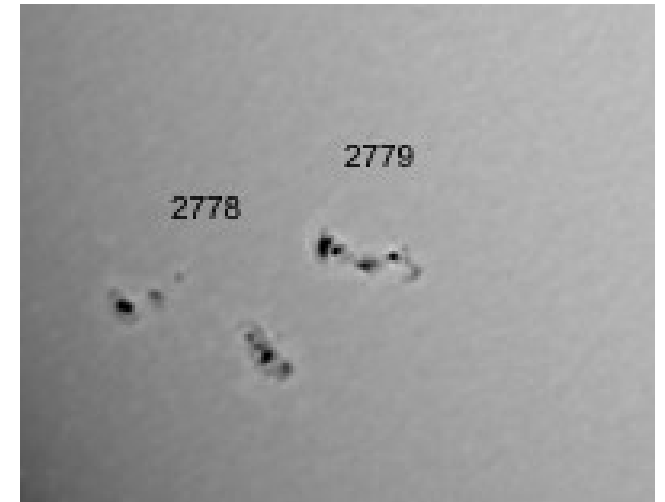
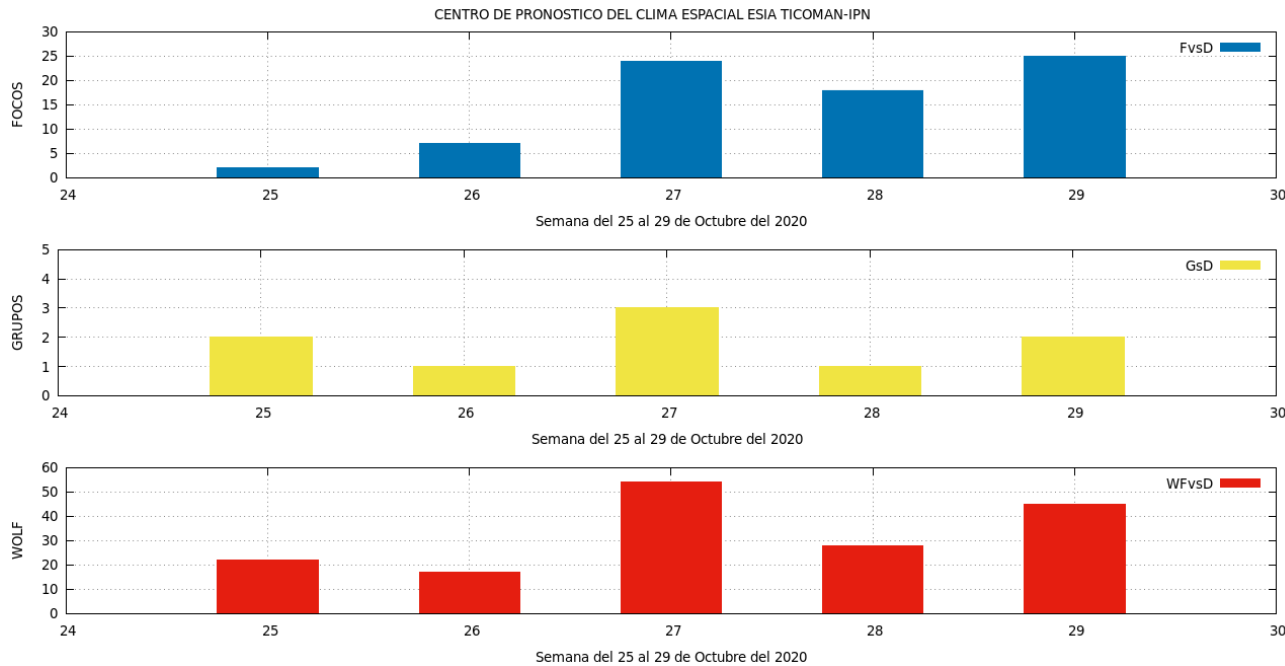
K= Es un factor de corrección que depende de cada observatorio.

F= Cantidad total de manchas solares visibles sobre el disco solar.

G= Cantidad de grupos manchas solares visibles sobre el disco solar.

Número de Wolf máximo esta semana: 45

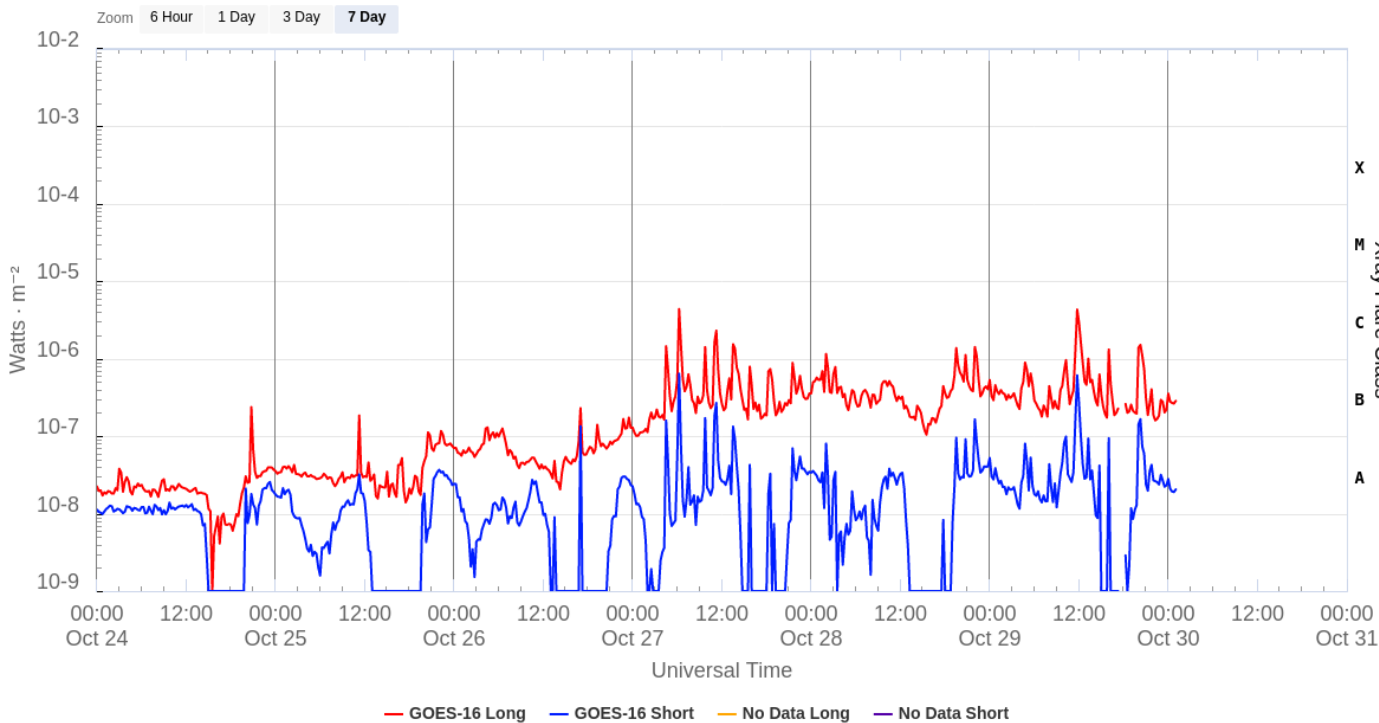
Actividad solar: Moderada



Durante esta semana se pudieron observar dos regiones activas en la superficie del Sol. Estas fueron la 2278 y la 2779 con coordenadas S20W54 y S15W43, respectivamente. Estas regiones se presentan en la imagen superior derecha. En los paneles de arriba se muestra en el número de focos, grupos de manchas y los valores de Wolf de esta semana.

Actividad solar: Fulguraciones solares

GOES X-Ray Flux (1-minute data)



Updated 2020-10-30 01:02 UTC

Space Weather Prediction Center

Flujo de rayos X solares detectado por los satélites GOES.

Se detectaron varias fulguraciones tipo C el día 29 de octubre, relacionadas con la región 2779.

Tipo	Inicio [UT]	Máximo [UT]	Final [UT]
C4.3	11:30	11:50	12:07
C1	13:10	13:20	13:27
C1.3	15:53	16:02	16:08
C1.5	20:00	20:16	20:38

<https://www.swpc.noaa.gov/products/goes-x-ray-flux>

Eyecciones de Masa Coronal (EMCs): *observación de coronógrafos*

>> Octubre 26, 18:00 h⁺

>> Octubre 28, 13:36 h⁺

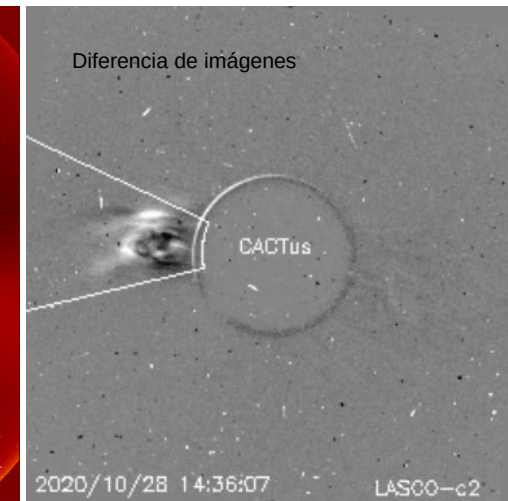
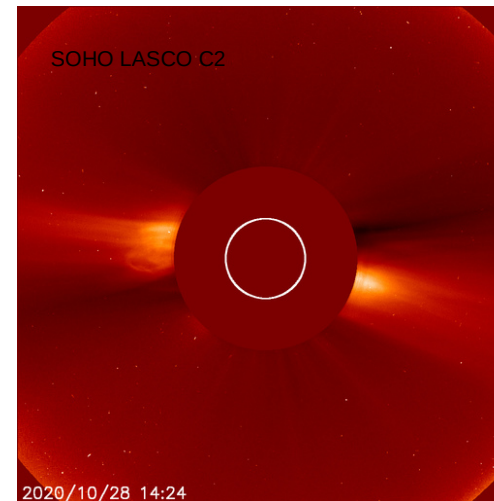
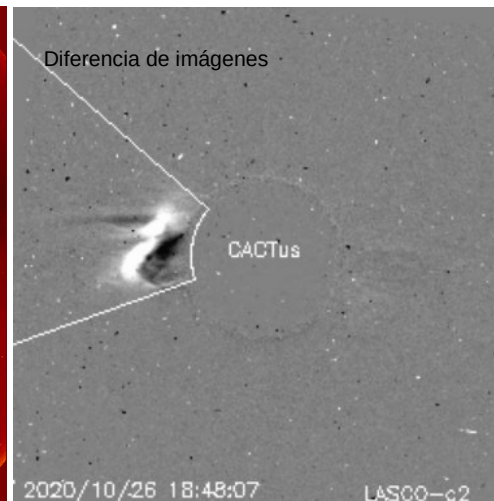
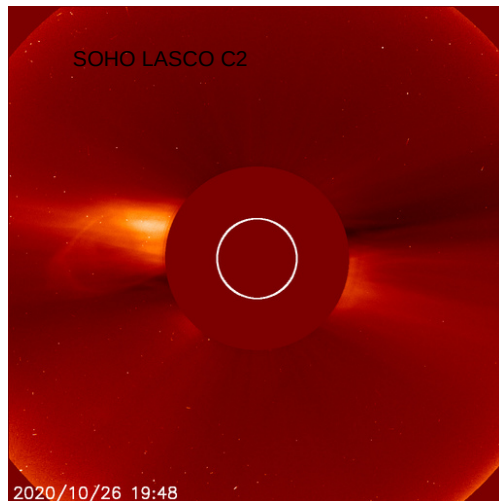
- Eyecciones lentas observadas por SOHO/LASCO C2 y C3.

- La EMC del 26/10 tienen una componente de desplazamiento en dirección a la Tierra, pero debido a su tamaño y velocidad, no se esperan consecuencias severas en el entorno geomagnético.

	26/10	28/10
Velocidad* (km/s)	367	336
Posición angular*	79°	84°
Ancho angular*	60°	38°

(*)Valores estimados sobre la proyección en el plano del cielo y no en la dirección Sol-Tierra.

(+)Tiempo de inicio de la observación.



Crédito imágenes y valores estimados: ESA-NASA/SOHO, the Solar & Heliospheric Observatory CACTus CME catalog. SIDC at the Royal Observatory of Belgium

Medio interplanetario: El viento solar cercano a la Tierra

Modelo numérico WSA-ENLIL.

El modelo pronostica un ambiente solar terrestre dominado por corrientes de viento solar promedio con velocidades que van desde los 400 km/s hasta los 600 km/s. La densidad presentará un pequeño incremento el día 02 de noviembre. No se pronostica el arribo de ninguna EMC en los próximos días.

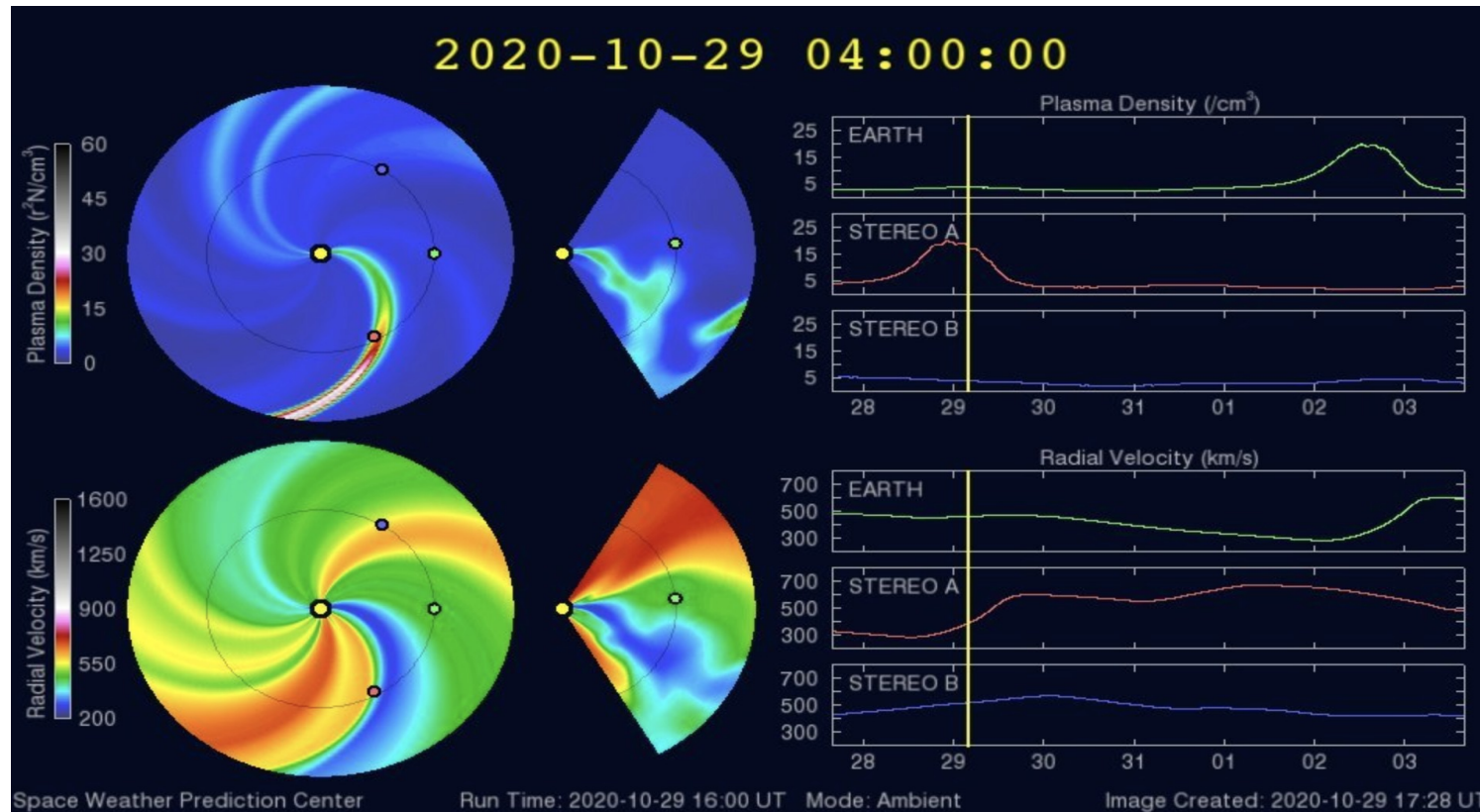
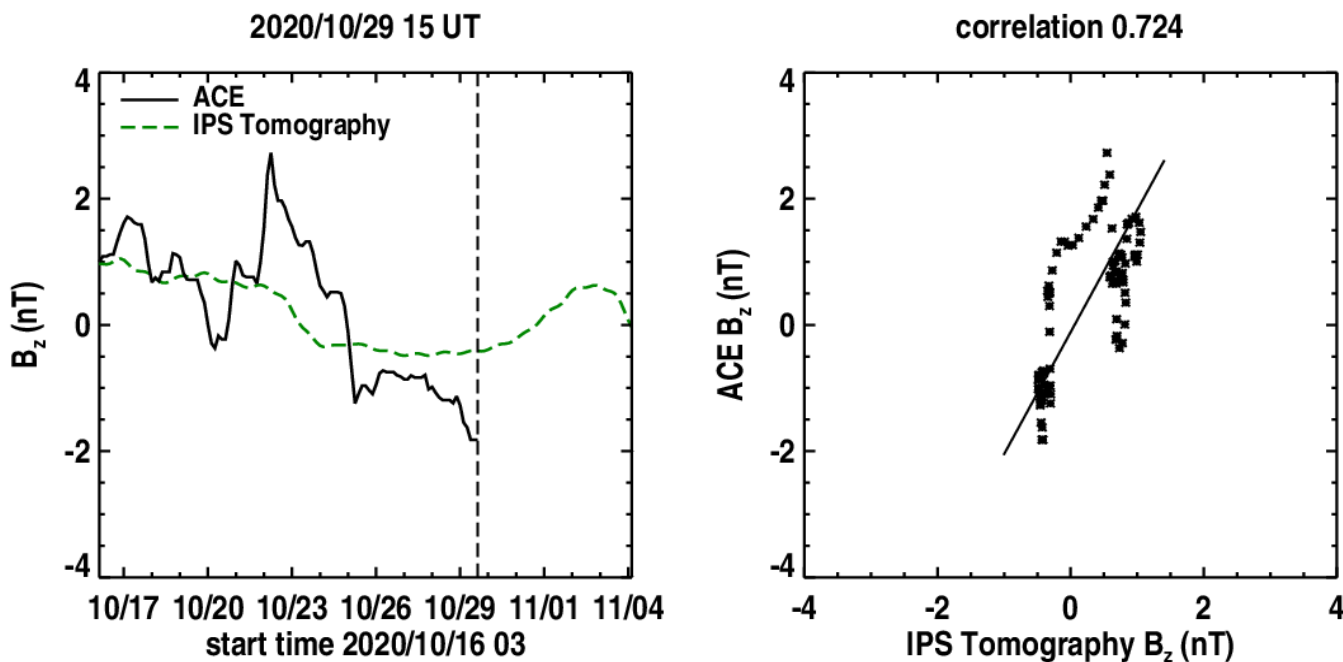


Imagen: <http://www.swpc.noaa.gov/products/wsa-enlil-solar-wind-prediction>

Medio interplanetario: El viento solar cercano a la Tierra

Pronóstico de la componente B_z del viento solar cercano a la Tierra usando la tomografía con datos IPS.



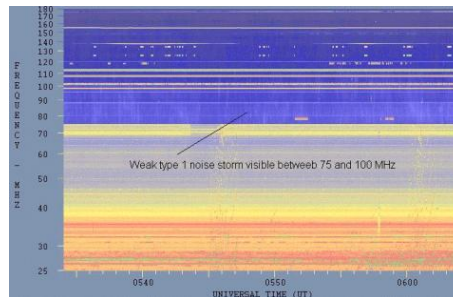
(Izquierda) Se pronostica una componente B_z positiva que tiende a decrecer.
(Derecha) La comparación con las observaciones del Advanced Composition Explorer (ACE) indican una correlación de 0.724 en el último pronóstico.

Imagen: http://ips.ucsd.edu/high_resolution_predictions

Tipos de estallidos de radio solares

Tipo I: Estallidos cortos y banda de emisión estrecha. Ocurren en un gran número sobre un continuo de emisión. Duración de 1 s y en tormenta de horas a días.

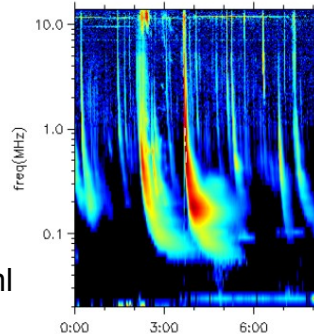
Se asocian con regiones activas, fulguraciones y protuberancias eruptivas



spaceacademy.net.au/env/sol/solradp/solradp.htm

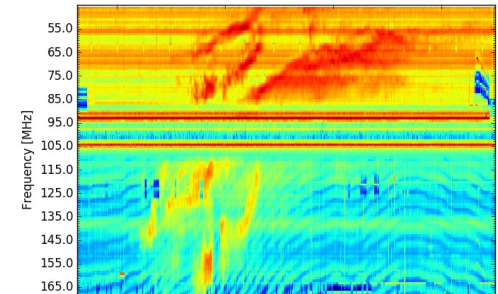
Tipo III: Estallidos de deriva rápida, con duración de pocos segundos en el rango métrico. Tienen anchos de emisión amplios. Son producidos en fulguraciones donde son expulsados a velocidades relativistas.

Se pueden presentar también como tormentas de estallidos.



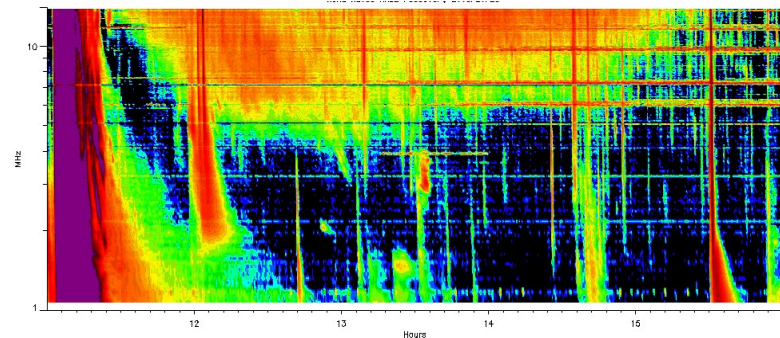
ssed.gsfc.nasa.gov/waves/data_products.html

Tipo II: Estallidos de deriva lenta. Son la firma de ondas de choque, producidas por fulguraciones o EMCs, que se propagan cerca del Sol y medio interplanetario. Presentan anchos de de emisión estrechos que derivan a frecuencias menores.



www.rice.unam.mx/callisto

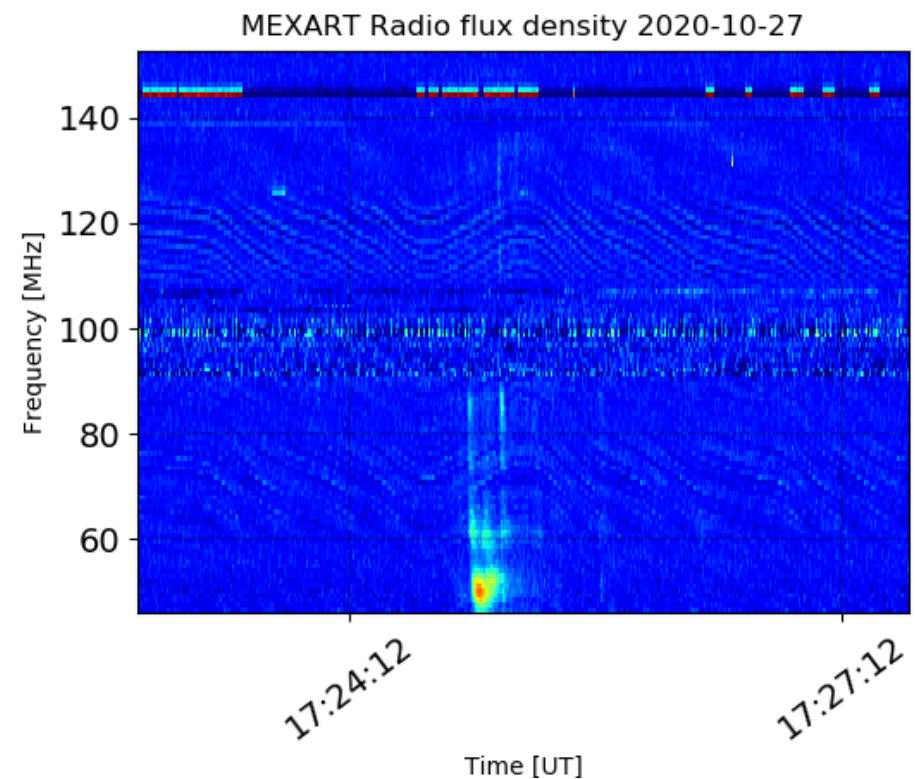
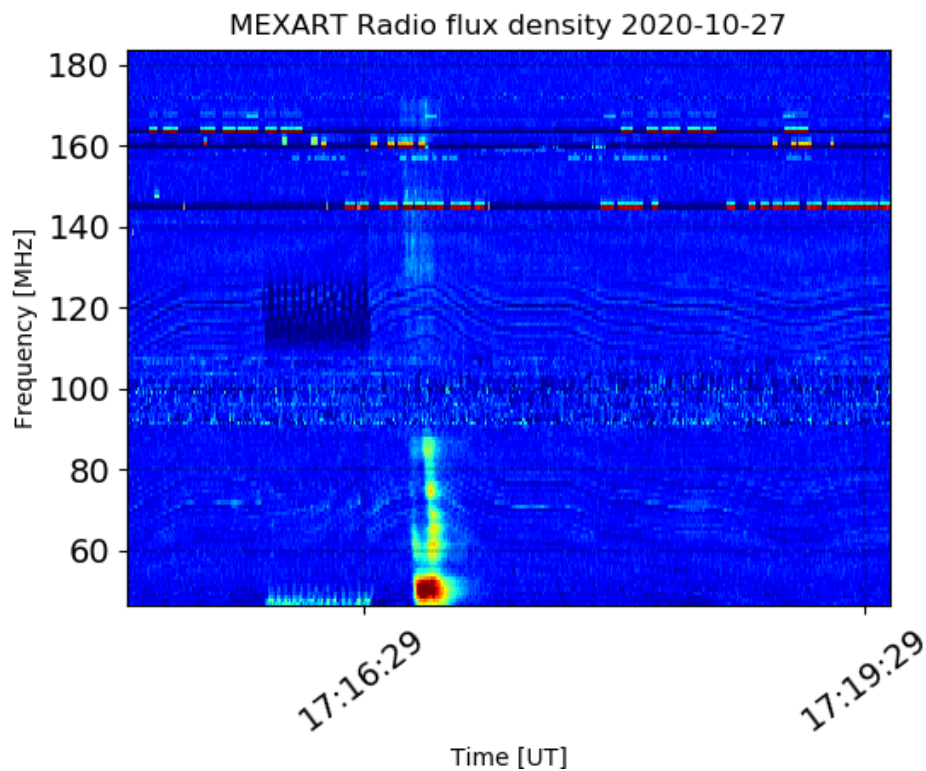
Tipo IV: Se relacionan con fulguraciones, tienen anchos de banda amplios y pueden durar horas.



https://ssed.gsfc.nasa.gov/waves/data_products.html

Estallidos de radio solares: Observaciones de Callisto-MEXART

Callisto-MEXART detectó dos estallidos tipo III el día 27, el primero a las 17:16 y el segundo a las 17:25 en tiempo universal .



- <http://www.rice.unam.mx/callisto/lightcurve/2020/10>

Medio interplanetario: Región de interacción de viento solar

CHIMERA Coronal Holes at 20-Oct-2020 19:27:40.850 UT

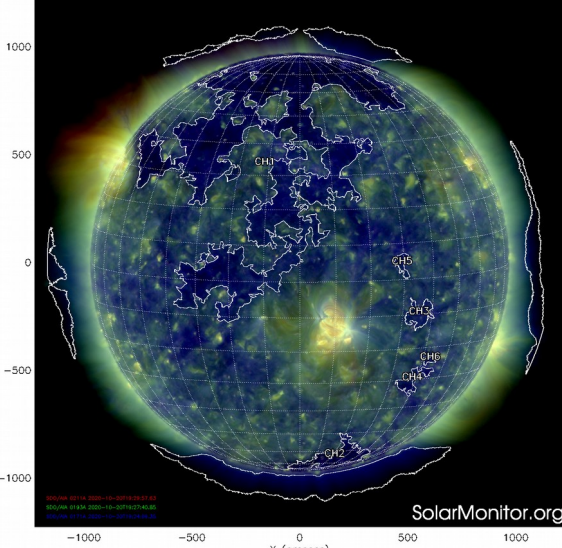


Imagen 1: <https://solarmonitor.org/chimera.php>

Esta semana se registró una región de compresión (ver área sombreada en imagen 3). El origen del viento solar rápido es un hoyo coronal localizado en latitudes bajas (CH1 en imagen 1). Dicha región de compresión generó variación geomagnética en el índice Dst=-47 nT. En la imagen 2 (área sombreada en amarillo) vemos la ascendencia de la hoja de corriente sobre el plano de la eclíptica

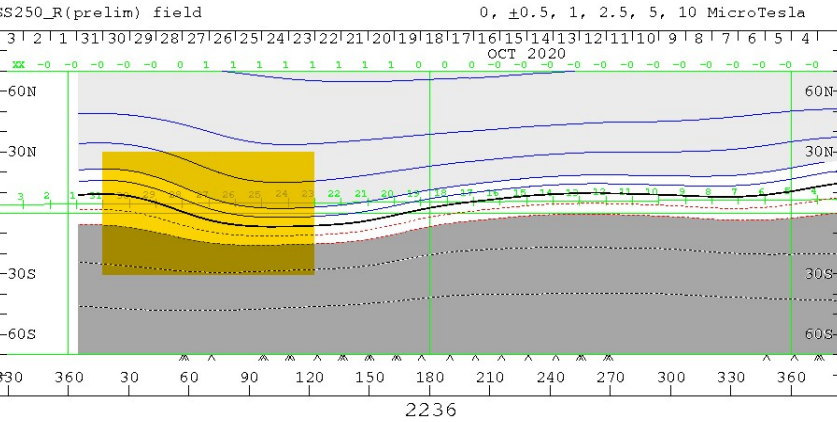


Imagen 2: <http://wso.stanford.edu/SYNOP/>

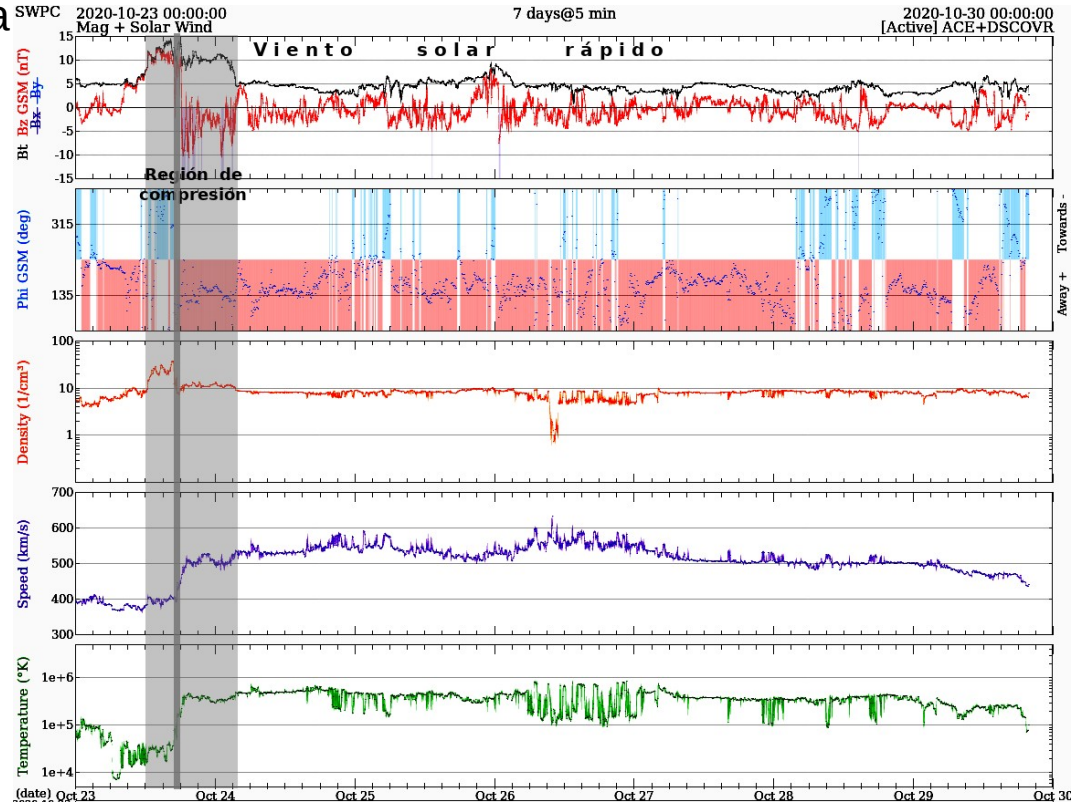


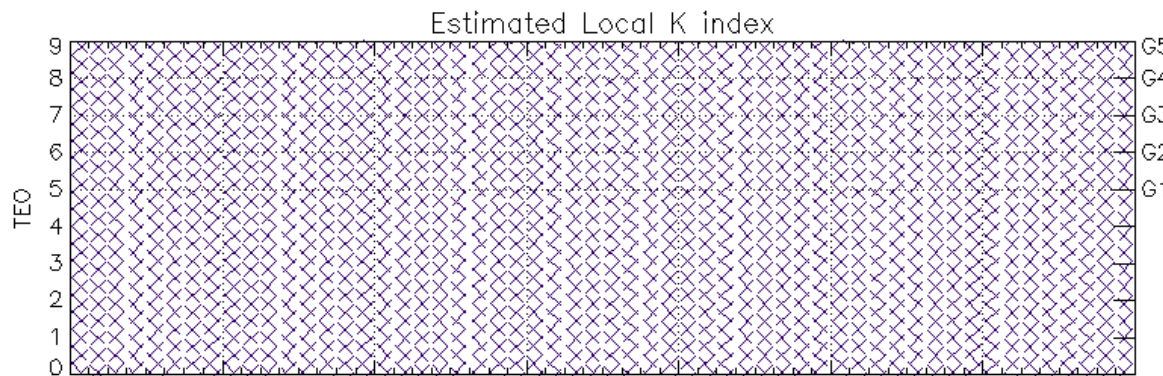
Imagen 3: <http://www.swpc.noaa.gov/products/real-time-solar-wind>

Perturbaciones geomagnéticas: Índices geomagnéticos Kp y Kmex

Imagen: <http://services.swpc.noaa.gov/images/planetary-k-index.gif>

No se registró actividad geomagnética significativa en el índice Kp durante la semana.

NOTA: Debido a actividades de mantenimiento, no se cuenta con datos del Observatorio de Teoloyucan. Esta condición impide el cálculo del índice Kmex.



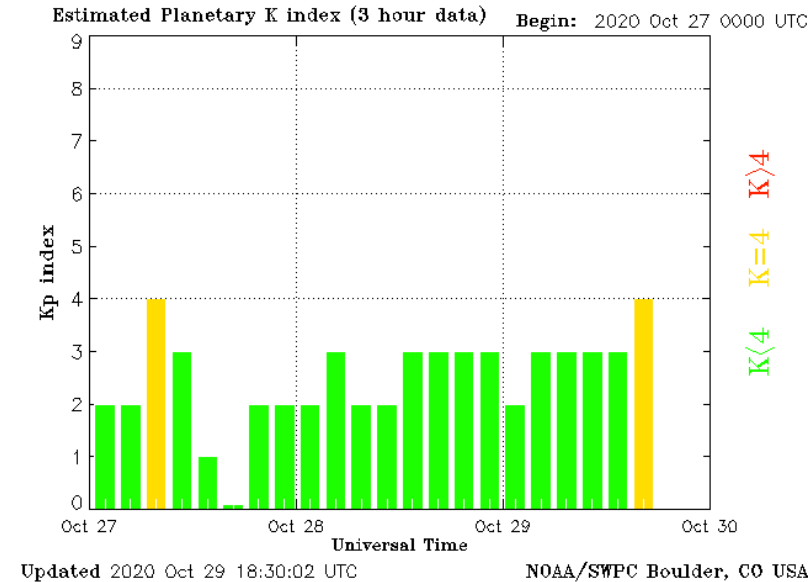
UTC [Begin: 00:00 UTC]

Color Code: ■ quiet, ■ disturbed, ■ storm, XXXX data not available.

TEO: Teoloyucan Geomagnetic Observatory (LAT 19.746, LON -99.193)

LANC/SCIESMEX - Morelia, Mich., MX

Updated:



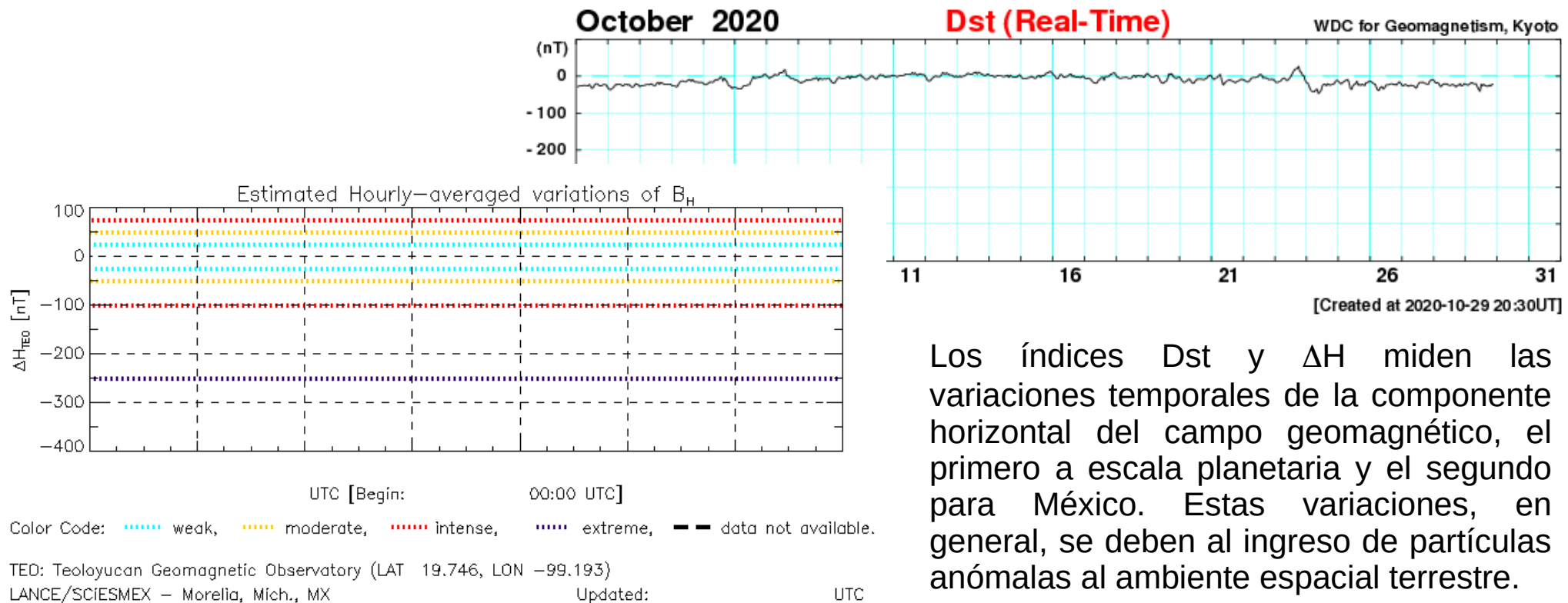
El índice K indica la intensidad de las variaciones del campo magnético terrestre en intervalos de 3 horas. El índice Kp lo expresa a escala planetaria, mientras que el Kmex lo hace para el territorio mexicano.

Perturbaciones geomagnéticas: Índice Dst y ΔH

No se registró actividad geomagnética significativa en el índice Dst durante la semana.

NOTA: Debido a actividades de mantenimiento, no se cuenta con datos del Observatorio de Teoloyucan. Esta condición impide el cálculo del índice ΔH .

Imagen: http://wdc.kugi.kyoto-u.ac.jp/dst_realtime/presentmonth/index.html



Los índices Dst y ΔH miden las variaciones temporales de la componente horizontal del campo geomagnético, el primero a escala planetaria y el segundo para México. Estas variaciones, en general, se deben al ingreso de partículas anómalas al ambiente espacial terrestre.

Ionósfera sobre México: TEC en el centro del país (datos locales)

El contenido total de electrones (TEC) es un parámetro que sirve para caracterizar el estado de la ionosfera de la Tierra.

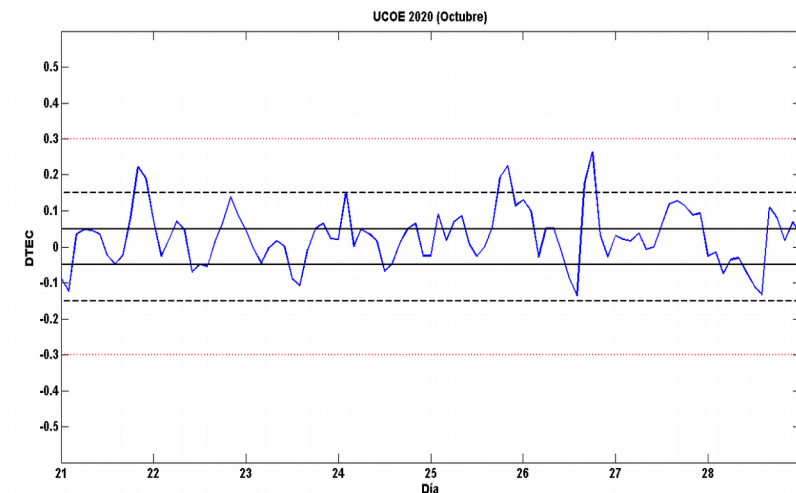
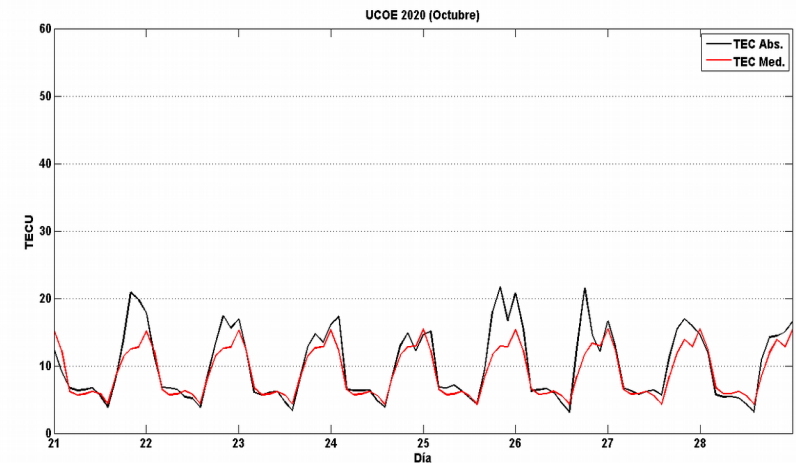
Serie temporal de los valores de TEC (negro) con referencia a su valor mediano (rojo) durante 22.10-28.10.2020 con base en los datos de la estación local UCOE (TLALOCNet, UNAVCO) en las instalaciones del MEXART.

Desviación de TEC de su mediana de los 27 días anteriores al día de observación con base en los datos de la misma estación.

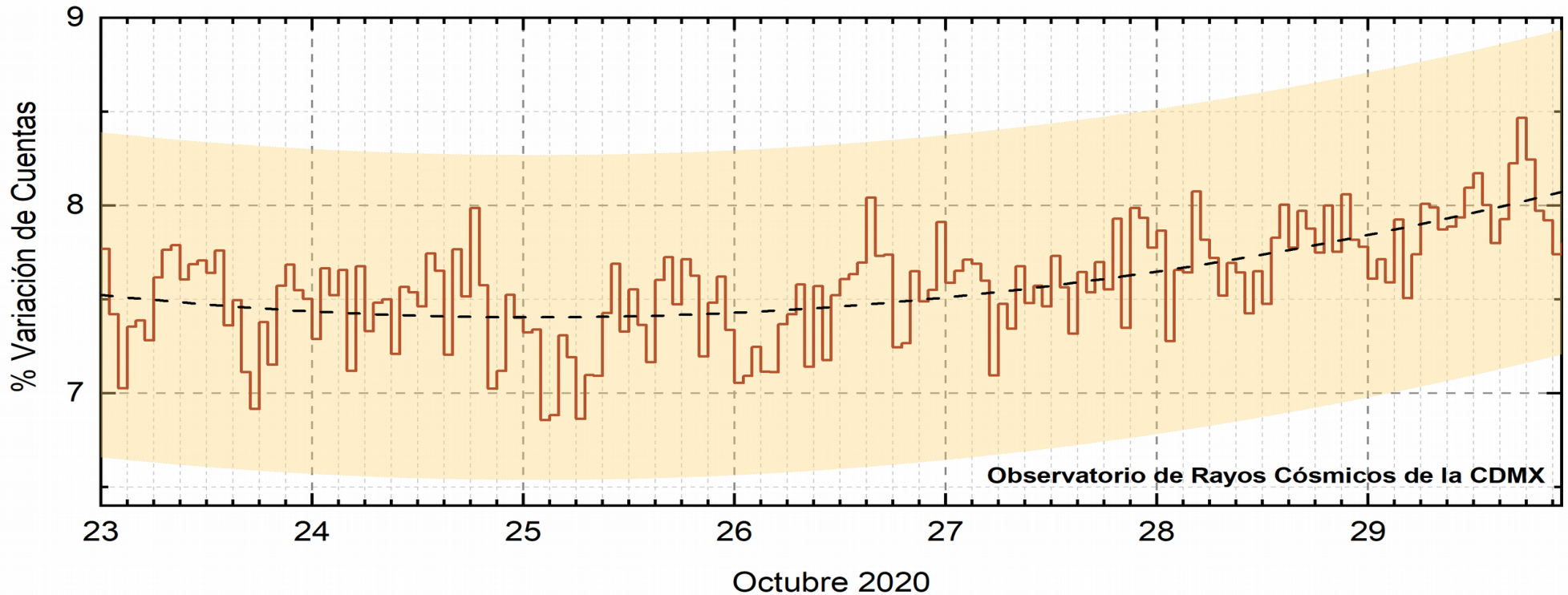
Según los datos locales, se observaron valores de TEC aumentados los días 21, 25 y 26 de octubre .

El cálculo se realiza en base de TayAbsTEC software del Instituto de Física Solar-Terrestre, Sección Siberiana de la Academia de Ciencias de Rusia. Referencia: Yasyukevich et al., Influence of GPS/GLONASS Differential Code Biases on the Determination Accuracy of the Absolute Total Electron Content in the Ionosphere, Geomagn. and Aeron., ISSN 0016_7932, 2015.

Referencia: Gulyaeva et al., GIM-TEC adaptive ionospheric weather assessment and forecast system. doi:10.1016/j.jastp.2013.06.011, 2013.



Rayos Cósmicos:



<http://www.cosmicrays.unam.mx/>

Datos registrados por el Observatorio de Rayos Cósmicos de la Ciudad de México. La curva discontinua negra representa el promedio de los datos registrados, el área coloreada en amarillo representa la significación de los datos ($\pm 3\sigma$). Cuando se registran variaciones que salen del área, es probable que éstas sean atribuidas a efectos de emisiones solares en el flujo de rayos cósmicos.

Del 23 al 29 de octubre de 2020, no se detectaron incrementos significativos ($>3\sigma$) en las cuentas de rayos cósmicos.

UNAM/LANCE/SCiESMEX

Dr. J. Américo González Esparza
Dr. Pedro Corona Romero
Dra. Maria Sergeeva
Dr. Julio C. Mejía Ambriz
Dr. Luis Xavier González Méndez
Dr. José Juan González Avilés
Ing. Ernesto Andrade Mascote
M.C. Pablo Villanueva Hernández
Ing. Adan Espinosa Jiménez
Ing. Juan Luis Godoy Hernández
Dr. Ernesto Aguilar-Rodríguez
Dra. Verónica Ontiveros
Dra. Tania Oyuki Chang Martínez
M.C. Juan José D'Aquino
Dr. Víctor José Gatica Acevedo

UNAM ENES-Morelia

Dr. Mario Rodríguez Martínez
Dr. Víctor De la Luz Rodríguez
Lic. Shaden Saray Hernández Anaya
M.C. Raúl Gutiérrez Zalapa
Rafael Zavala Molina
Vanessa Arriaga Contreras

UNAM/PCT

Lic. Elizandro Huipe Domratheva
M.C. Víctor Hugo Méndez Bedolla
M.C. Elsa Sánchez García

UANL/LANCE

Dr. Eduardo Pérez Tijerina
Dr. Enrique Pérez León
Dr. Carlos de Meneses Junior
Dra. Esmeralda Romero Hernández

UNAM/IGF/RAYOS CÓSMICOS

Dr. José Francisco Valdés Galicia
Fis. Alejandro Hurtado Pizano
Ing. Octavio Musalem Clemente

SERVICIO MAGNÉTICO

M.C. Esteban Hernández
Quintero
M.C. Gerardo Cifuentes Nava
Dra. Ana Caccavari Garza

Elaboración: Equipo SCiESMEX

Revisión: Ernesto Aguilar Rodríguez

Ing. Julio César Villagran Orihuela

Miguel Daniel González Arias

Carlos Escamilla León

Jessica Juárez Velarde

Pablo Romero Minchaca

Eric Bañuelos Gordillo

Alfonso Iván Verduzco Torres

Alain Mirón Velázquez

Christian Armando Ayala López

Katia Lisset Ibarra Sánchez

Angel Alfonso Valdovinos Córdoba

Agradecimientos

El Laboratorio Nacional de Clima Espacial (LANCE) es parcialmente financiado por: el programa Cátedras CONACYT Proyecto 1045 y el Fondo Sectorial AEM-CONACYT proyecto 2014-01-247722. Agradecemos al proyecto Conacyt – Repositorio Institucional de Clima Espacial 268273. Agradecemos al proyecto AEM-2018-01-A3-S-63804 del Fondo Sectorial CONACYT-AEM. Agradecemos a todos los responsables y colaboradores de instrumentos del LANCE y a las redes de estaciones GPS del Servicio Sismológico Nacional y TlalocNET por facilitar sus datos. Agradecemos a Gerardo Cifuentes, Esteban Hernández y Ana Caccavari por los datos del Observatorio Magnético de Teoloyucan. De igual forma, agradecemos los servicios de IGS (International GNSS Service) por permitirnos usar los datos IONEX disponibles en: <ftp://cddis.gsfc.nasa.gov/pub/gps/products/ionex>. Los valores de TEC fueron obtenidos a partir de observaciones de las redes GPS del Servicio Sismológico Nacional (SSN), SSN-TLALOCNet y TLALOCNet del Servicio de Geodesia Satelital (SGS). Agradecemos al personal del SSN y del SGS por el mantenimiento de estaciones, la adquisición de datos y el soporte de IT de estas redes. Las operaciones de la red TLALOCNet y SSN-TLALOCNet GPS han sido apoyadas por The National Science Foundation bajo el proyecto EAR-1338091 a UNAVCO Inc., los proyectos CONACyT 253760 y 256012 y los proyectos UNAM-PAPIIT IN109315-3 y IN104818-3 de E. Cabral-Cano y el proyecto UNAM-PAPIIT IN111509 de R. Pérez. De igual forma, agradecemos a los proyectos de infraestructura del CONACyT: 253691 y del PAPIIT-DGAPA: IA107116 para el fortalecimiento de equipos como la estación fija de GPS, que forman parte del LACIGE-UNAM, de la ENES unidad Morelia a cargo de M. Rodríguez-Martínez, El cálculo de TEC se realiza: 1) utilizando el software US-TEC que es un producto de operación del Space Weather Prediction Center (SWPC), desarrollado a través de una colaboración entre National Geodetic Survey, National Oceanic and Atmospheric Administration (NOAA) y el Cooperative Institute for Research in Environmental Sciences of the University of Boulder, Colorado, 2) con base en el software TayAbsTEC del Instituto de Física Solar-Terrestre, sección Siberiana de la Academia de Ciencias Rusa. Parte del procesamiento de datos se lleva a cabo dentro del centro de Supercómputo de Clima Espacial (CESCOM) del LANCE. Así mismo agradecemos al Space Weather Forecasting Center for Astrophysics & Space Research de la University of California in San Diego y al Korean Space Weather Center por los datos de pronóstico para los modelos WSA-ENLIL y los mapas tomográficos por IPS. Agradecemos a la red e-callisto por los datos proporcionados de espectros electromagnéticos dinámicos de la red internacional de registro de eventos de radio solares.